

Концентрация электронов в исследованных образцах не зависит от температуры, и изменение сопротивления с понижением температуры определяется подвижностью. На рис. 1 приведены зависимости коэффициента Холла  $R_X$  от температуры для исследованных образцов. Стрелками указаны температуры перехода в состояние спинового стекла данного образца. Видно, что, несмотря на малое магнитное поле, которое еще не разрушает состояния спинового стекла, в  $Hg_{1-x}Mn_xSe$  эффект Холла нечувствителен к переходу образцов в состояние спинового стекла в отличие от  $Hg_{1-x}Mn_xTe$ , что обусловлено скорее всего отсутствием компенсации и высокой концентрацией электронов с большой энергией Ферми по сравнению с  $Hg_{1-x}Mn_xTe$ , исследованными в [3, 4].

На рис. 2 приведены зависимости сопротивления от температуры у исследованных образцов. Если у образца № 1 сопротивление практически не изменяется при понижении температуры, то у образцов № 2, 3 начинается рост сопротивления, причем чем выше концентрация марганца, тем больше изменение сопротивления и его рост начинается при более высокой температуре. Для заключения о преимущественном механизме релаксации проведем простейшую оценку количества ионизированных примесей по формуле Конуэлла—Вайскопфа для времени релаксации

$$\tau = \frac{(2m^*)^{1/2} e^2 E^{3/2}}{N_i \pi z^2 e^4 \ln[1 + (\epsilon E / ze^2 N_i^{1/2})^2]},$$

где  $m^*$  — эффективная масса,  $e$  — заряд электрона,  $\epsilon$  — диэлектрическая проницаемость. Определив  $\tau$  из холловской подвижности, для количества ионов примеси  $N_i$  получим значение  $\approx 10^{19}$  см<sup>-3</sup>, что неплохо согласуется с данными о значении концентрации ионов марганца.

Анализируя полученные данные и учитывая диапазон температур, а также то, что  $R_X$  не зависит от магнитного поля при сверхнизких температурах до  $B=6$  Тл, можно сделать вывод, что в  $Hg_{1-x}Mn_xSe$  основное рассеяние носителей заряда происходит в основном на ионизированных примесях с вкладом рассеяния на локализованных магнитных моментах при большом содержании марганца.

#### Список литературы

- [1] Брандт Н. Б., Исмаилов Ж. Т., Кульбачинский В. А., Чудинов С. М., Гавалешко Н. П., Марьянчук П. Д. // ФНТ. 1986. Т. 12. № 2. С. 215—217.
- [2] Zicic O., Stojic M., Stosic B. // Phys. St. Sol. (a). 1985. V. 88. N 2. P. K191—K196.
- [3] Брандт Н. Б., Цидильковский И. М., Мошалков В. В., Поникаров Б. Б., Скрбек Л., Талденков А. И., Чудинов С. М. // ФТП. 1983. Т. 17. № 1. С. 18—23.
- [4] Брандт Н. Б., Мошалков В. В., Орлов А. О., Скрбек Л., Цидильковский И. М., Чудинов С. М. // ЖЭТФ. 1983. Т. 84. № 3. С. 1059—1074.

Московский  
государственный университет  
им. М. В. Ломоносова

Поступило в Редакцию  
28 декабря 1989 г.  
В окончательной редакции  
14 февраля 1990 г.

УДК 537.312.62 : 539.893 : 546.66

© Физика твердого тела, том 32, № 8, 1990  
Solid State Physics, vol. 32, N 8, 1990

## ИССЛЕДОВАНИЕ ТЕРМОЭДС Yb ПРИ ВСЕСТОРОННЕМ СЖАТИИ ДО 11 ГПа

*A. O. Сабуров, Н. Н. Степанов, А. П. Швецов*

Под действием всестороннего сжатия при температуре 300 К иттербий претерпевает ряд фазовых переходов: металл—полупроводник, из ГЦК-в ОЦК-фазу и из ОЦК- в ГПУ-фазу при давлениях  $\simeq 1.2$ ,  $\simeq 4$  и  $\sim 35$  ГПа

соответственно [1]. Согласно [2], структурное превращение ГЦК  $\rightarrow$  ОЦК сопровождается переходом ионов Yb в состояние с переменной валентностью (ПВ)  $v$ , причем  $2+ < v < 3+$ . Электронный спектр систем с ПВ характеризуется наличием резкой структуры —  $f$ -резонанса — на уровне химического потенциала  $\mu$  [3]. Отсюда следует, что ОЦК-фаза Yb должна обладать аномальными кинетическими свойствами по сравнению с обычными трехвалентными редкоземельными металлами (РЗМ). Однако низкотемпературные измерения электросопротивления ( $R$ ) Yb под давлением  $P \geq 4$  ГПа [4] не обнаружили каких-либо особенностей, обусловленных ПВ РЗ-ионов, на изобарах  $R(T)$ . На основании результатов проведенных измерений в [4] был сделан вывод об отсутствии валентного перехода в Yb при всестороннем сжатии. В связи с этим представляет интерес проведение экспериментов по изучению барических зависимостей тех физических характеристик Yb, которые чувствительны к изменению под давлением электронной плотности состояний на уровне  $\mu$ .

В [5-9] показано, что исследование особенностей поведения термоэдс ( $S$ ) РЗ-элементов и их соединений под действием всестороннего сжатия представляет собой сравнительно простой, косвенный, и тем не менее достаточно надежный метод регистрации фазовых переходов РЗ-ионов в состояние с ПВ и изучения общих закономерностей эволюции под давлением этого состояния.

В настоящей работе методом термоэдс проводились исследования Yb, Pr, Tm и Lu под давлением до 11 ГПа при 300 К. Всестороннее сжатие создавалось в аппарате высокого давления «тороид» [10]. Средой, передающей давление на испытуемый образец, служил гексагональный нитрид бора. Давление в аппарате определялось резистивным методом по фазовым переходам в редких материалах [11]. Образцы Yb, Pr, Tm и Lu с характерными размерами  $4 \times 1.5 \times 1$  мм вырезались из поликристаллических слитков чистотой не менее 99.5 % и размещались в центре камеры сжатия аппарата «тороид». Вдоль направления максимального размера исследуемого образца двумя никромовыми нагревателями, расположенными вблизи его торцов, попаременно создавались противоположно направленные температурные градиенты; температуры торцов измерялись медью-константановыми термопарами. Термоэлектрический сигнал снимался с медных ветвей термопар. Результаты измерений  $S$  усреднялись по двум направлениям  $\nabla T$ . Точность измерения термоэдс составляла  $\pm 0.1$  мкВ/К, давление определялось с погрешностью  $\pm 0.1$  ГПа.

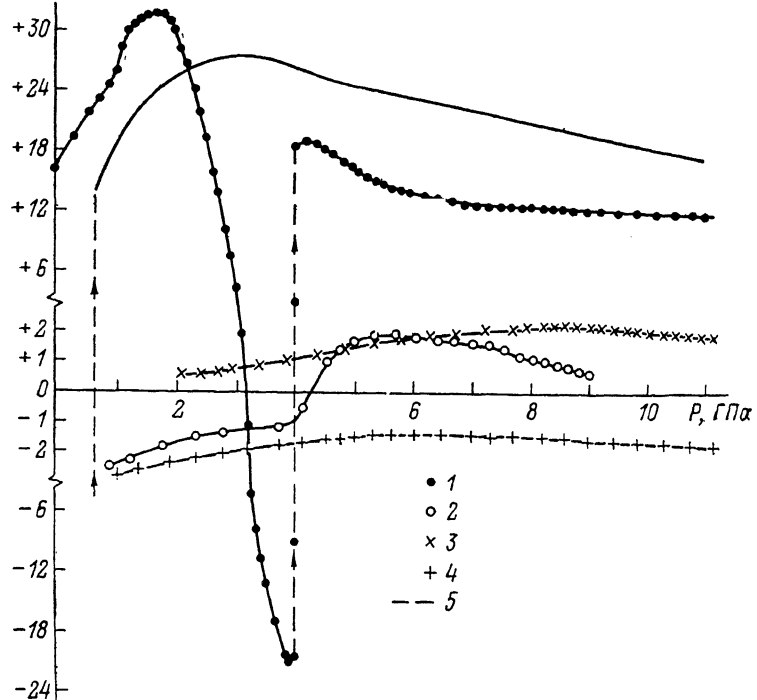
Поликристаллы Tm и Lu использовались в настоящей работе в качестве референсов, поскольку, согласно [1], в исследованной барической области ( $P \leq 11$  ГПа) эти металлы не испытывают фазовых переходов. На образцах Pr проводились эксперименты по отработке методики измерения  $S$  в условиях литостатического сжатия.

Результаты проведенных исследований представлены на рисунке. Рассмотрим барическую зависимость  $S$  Pr. В диапазоне  $P$  до 9 ГПа она хорошо согласуется с зависимостью  $S(P)$  Pr, полученной в условиях гидростатики [12]. На кривой  $S(P)$  четко прослеживаются аномалии, связанные со структурными превращениями дв. ГПУ  $\rightarrow$  ГЦК при  $\approx 4$  ГПа и ГЦК  $\rightarrow$  иск. ГЦК при  $\approx 7.5$  ГПа [1]. Поскольку указанные фазовые переходы не сопровождаются изменением валентности ионов Pr, то  $S$  в исследованной области  $P$  не превышает характерных для нормальных металлов значений  $|S_{Pr}| \leq 2$  мкВ/К. Совпадение результатов измерений  $S$  в жидкой и твердой средах свидетельствует о достоверности получаемых в условиях литостатического сжатия экспериментальных данных.

Барические зависимости термоэдс Tm и Lu в диапазоне  $P$  до 11 ГПа представляют собой плавные немонотонные кривые, расположенные соответственно в областях положительных и отрицательных значений  $S$ . Зависимость  $S(P)$  Tm возрастает под давлением до  $\approx 8.2$  ГПа и принимает в максимуме значение  $S_{\max} \approx +2.2$  мкВ/К. В интервале давлений  $8.2 \leq P \leq 11$  ГПа  $S(P)$  Tm убывает с барическим коэффициентом  $dS/dP \approx -0.1$  мкВ/К·ГПа.  $S$  Lu незначительно возрастает под давлением

до  $\approx 6$  ГПа, достигая в максимуме величины  $\approx -1.7$  мкВ/К, и далее начинает падать с  $\partial S/\partial P \approx -0.1$  мкВ/К·ГПа.

Барическая зависимость  $S$  Yb резко отличается по характеру поведения от таковых, полученных для Pr, Tm и Lu.  $S$  Yb при нормальных условиях ( $P=0.1$  МПа,  $T=300$  К) имеет величину  $\approx +16$  мкВ/К. Под давлением термоэдс резко возрастает, достигая при  $P \approx 1.1$  ГПа значений  $\approx +27$  мкВ/К. В области  $P \sim 1.1$  ГПа на кривой  $S(P)$  наблюдается излом, обусловленный происходящим в Yb фазовым переходом металл—полупроводник [13]. С увеличением давления  $S$  Yb продолжает возрастать, проходит через максимум ( $S_{\max} \approx +32$  мкВ/К) при  $P \approx 1.8$  ГПа и начинает



Барические зависимости дифференциальных термоэдс Yb (1), Pr (2), Tm (3) и Lu (4) при 300 К (5 — SmS [7]).

быстро убывать. Под давлением  $P \approx 3.2$  ГПа происходит смена знака  $S$ , а при  $P \approx 3.9$  ГПа  $S(P)$  достигает минимума  $S_{\min} \approx -21$  мкВ/К. Подробный анализ такого поведения  $S$  полупроводниковой фазы Yb был проведен в [14] в рамках простой двухзонной модели электропереноса [15].

Фазовый переход Yb из ГЦК- в ОЦК-фазу сопровождается резким скачком  $S$  до  $\approx +18.5$  мкВ/К. В ОЦК-фазе кривая  $S(P)$  проходит через максимум ( $S_{\max} \approx +19$  мкВ/К) при  $P \approx 4.2$  ГПа и начинает убывать с ростом  $P$ . Одновременно под давлением убывает по абсолютной величине и барический коэффициент термоэдс. При  $P \approx 7$  ГПа  $\partial S/\partial P$  принимает значение  $\approx -0.3$  мкВ/К·ГПа и далее остается постоянным вплоть до  $P=11$  ГПа. Подобное изменение  $S$  и  $\partial S/\partial P$  экспериментально наблюдалось ранее в ПВ-фазе SmS [7], зависимость  $S(P)$  которой приведена для сравнения на рисунке.

Термоэдс ОЦК-фазы Yb в области  $P=4 \div 11$  ГПа почти на порядок превосходит  $S$  реагентов — Pr, Tm и Lu. Этот факт свидетельствует о наличии высокой плотности электронных состояний на уровне  $\mu$  в ОЦК-модификации Yb, что является дополнительным (к данным работы [2]) аргументом в пользу возникновения ПВ ионов Yb при  $P \geq 4$  ГПа. Линейная экстраполяция зависимости  $S(P)$  Yb к значениям  $S$  обычных РЗ-металлов ( $\pm 2 \div 4$  мкВ/К при 300 К [16]) дает для давления перехода ионов Yb в трехвалентное состояние величину  $P \sim 35$  ГПа. Именно при этом дав-

лении, согласно [2, 17], в иттербии происходят одновременно структурный и электронный фазовые переходы, в результате которых ионы Yb<sup>+</sup> приобретают целочисленную валентность 3+.

В заключение авторы хотели бы обратить внимание на следующее обстоятельство. Температурные зависимости  $R$  ОЦК-фазы Yb аналогичны таковым, наблюдаемым в сильно сжатых ( $P > 10$  ГПа) SmS и SmB<sub>6</sub><sup>[18, 19]</sup>. Возможное объяснение этого факта заключается в том, что в ОЦК-модификации Yb реализуется безщелевое состояние ПВ.

#### Список литературы

- [1] Тонков Е. Ю. Фазовые превращения соединений при высоком давлении / Под. ред. Е. Г. Понятовского. М., 1988. Т. 11. 360 с.
- [2] Syassen K., Wortmann G., Feldhaus J., Frank K. H., Kaindl G. // Phys. Rev. B. 1982. V. 26. N 8. P. 4745—4748.
- [3] Хомский Д. И. // УФН. 1979. Т. 129. № 3. С. 443—485.
- [4] Katzman H., Mydosh J. A. // Z. Physik. 1972. V. 256. N 4. P. 380—386.
- [5] Ramani G., Singh A. K. // Sol. St. Comm. 1979. V. 29. N 8. P. 583—584.
- [6] Jaccard D., Sierro J. // Valence Instabilities. Amsterdam; N. Y.; Oxford, 1982. P. 409—413.
- [7] Сидоров В. А., Смирнов И. А., Степанов Н. Н., Хвостанцев Л. Г., Циок О. Б., Голубков А. В. // ФТТ. 1986. Т. 28. № 10. С. 3232—3235.
- [8] Сидоров В. А., Степанов Н. Н., Хвостанцев Л. Г., Циок О. Б., Голубков А. В., Оскотский В. С., Смирнов И. А. // ФТТ. 1987. Т. 29. № 9. С. 2616—2621.
- [9] Щенников В. В., Степанов Н. Н., Смирнов И. А., Голубков А. В. // ФТТ. 1988. Т. 30. № 10. С. 3105—3110.
- [10] Khvostantsev L. G., Vereshchagin L. F., Novikov A. P. // High Temp.—High Press. 1977. V. 9. N 6. P. 637—639.
- [11] Onodera A. // High Temp.—High Press. 1987. V. 19. N 6. P. 579—609.
- [12] Николаев Н. А., Хвостанцев Л. Г. // ЖЭТФ. 1987. Т. 92. № 1. С. 358—363.
- [13] Souers P. C., Jura G. // Science. 1963. V. 140. N 3566. P. 481—483.
- [14] Ramesh T. G., Shubha V., Ramaseshan S. // J. Phys. F. 1977. V. 7. N 6. P. 981—990.
- [15] McWhan D. B., Rice T. M., Schmidt P. H. // Phys. Rev. 1969. V. 177. N 3. P. 1063—1071.
- [16] Born H. J., Legwold S., Spedding F. H. // J. Appl. Phys. 1961. V. 32. N 12. P. 2543—2549.
- [17] Grosshans W. A., Holtzapfel W. B. // J. Magn. Magn. Mater. 1985. V. 47—48. P. 295—296.
- [18] Holtzberg F., Wittig J. // Sol. St. Comm. 1981. V. 40. N 4. P. 315—319.
- [19] Beill J., Maple M. B., Wittig J., Fisk Z., DeLong L. E. // Phys. Rev. B. 1983. V. 28. N 12. P. 7397—7400.

Ленинградский филиал  
Института машиноведения  
им. А. А. Благонравова  
АН СССР

Поступило в Редакцию  
15 февраля 1990 г.

УДК 537.632

© Физика твердого тела, том 32, № 8, 1990  
Solid State Physics, vol. 32, N 8, 1990

#### МАГНИТООПТИЧЕСКИЕ СВОЙСТВА МАНГАНИТОВ СО СТРУКТУРОЙ ПИРОХЛОРА

Г. С. Кринчик, Е. А. Ганьшина, А. Ю. Трифонов

При исследовании магнитооптических свойств мanganитов [1, 2] было установлено, что магнитооптические эффекты в них связаны с переходами в октакомплексах, содержащих ионы Mn<sup>3+</sup> и Mn<sup>4+</sup>. Кроме того, было обнаружено сильное влияние ионов Bi<sup>3+</sup> на магнитооптическую активность этих соединений. Поэтому представляло интерес изучить магнитооптические свойства мanganитов, содержащих только ионы Mn<sup>4+</sup> в октакомплексе, и проследить за влиянием на их магнитооптические свойства различных редкоземельных и диамагнитных ионов.